

Fig. 4-9 5T (a)經過 1500°C/6hr/Ar 熱處理後之微觀影像(BEI) (b)Ti 元素之 x-ray mapping (c)Zr 元素之 x-ray mapping (d)O 元素之 x-ray mapping (e)Y 元素之 x-ray mapping。

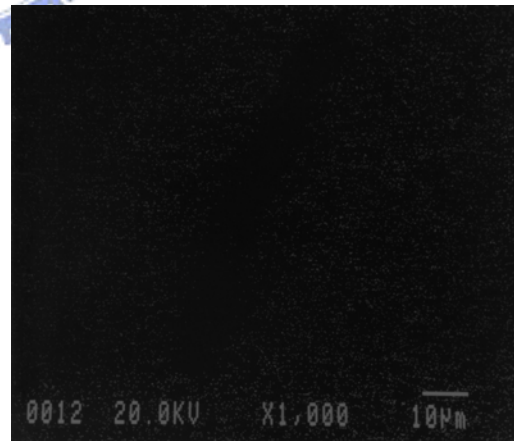
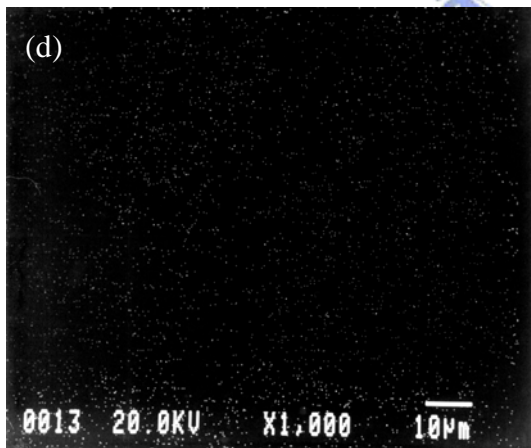
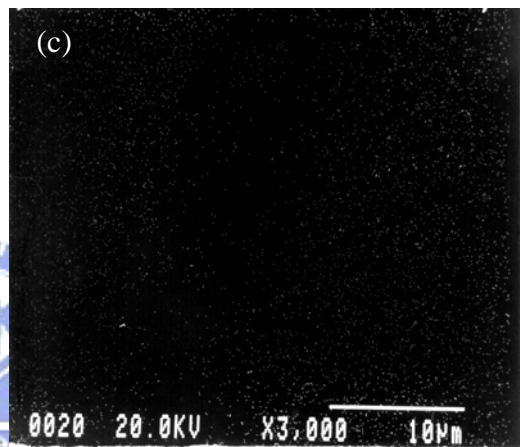
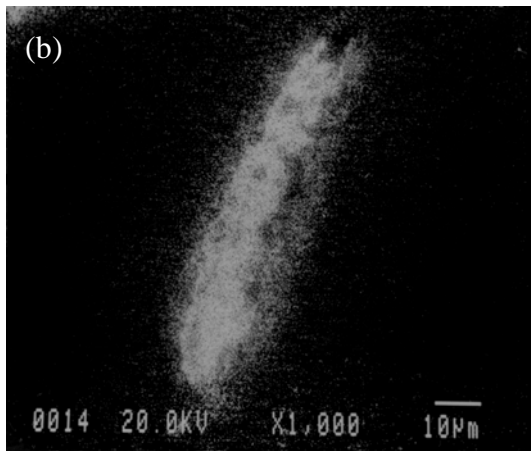
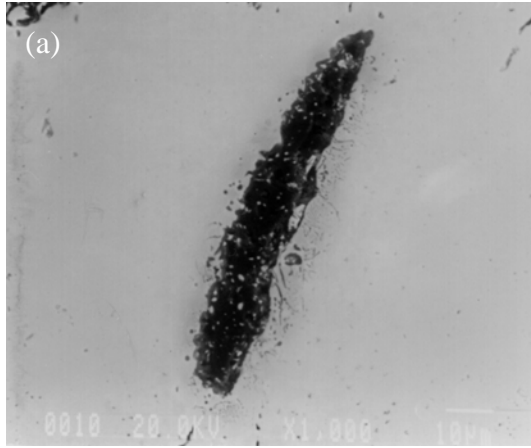


Fig. 4-10 5T (a)經過 1400°C/6hr/Ar 熱處理後之微觀影像(BEI) (b)Ti 元素之 x-ray mapping (c)Zr 元素之 x-ray mapping (d)O 元素之 x-ray mapping (e)Y 元素之 x-ray mapping

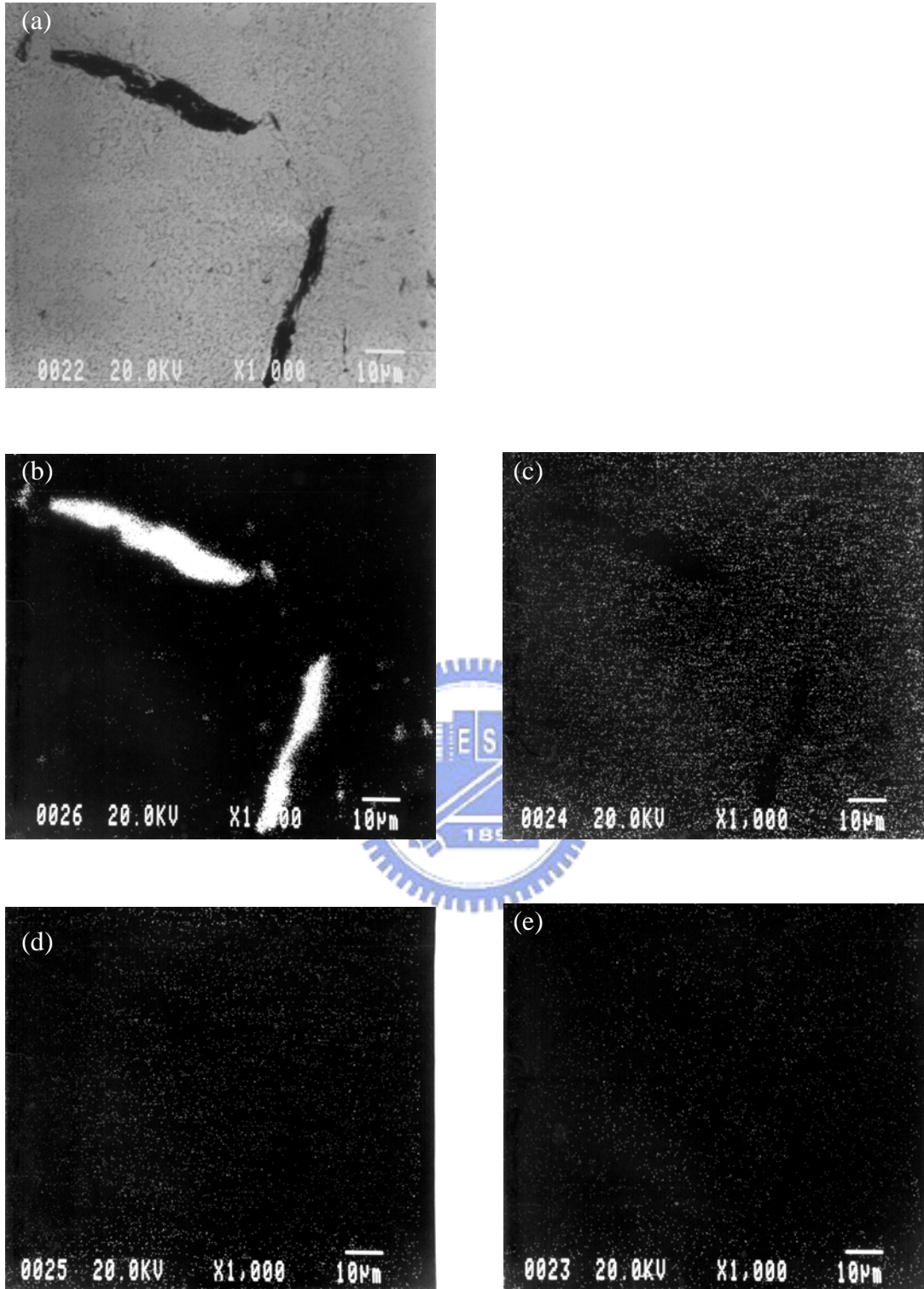


Fig. 4-11 5T (a)經過 1300°C/6hr/Ar 熱處理後之微觀影像(BEI) (b)Ti 元素之 x-ray mapping (c)Zr 元素之 x-ray mapping (d)O 元素之 x-ray mapping (e)Y 元素之 x-ray mapping

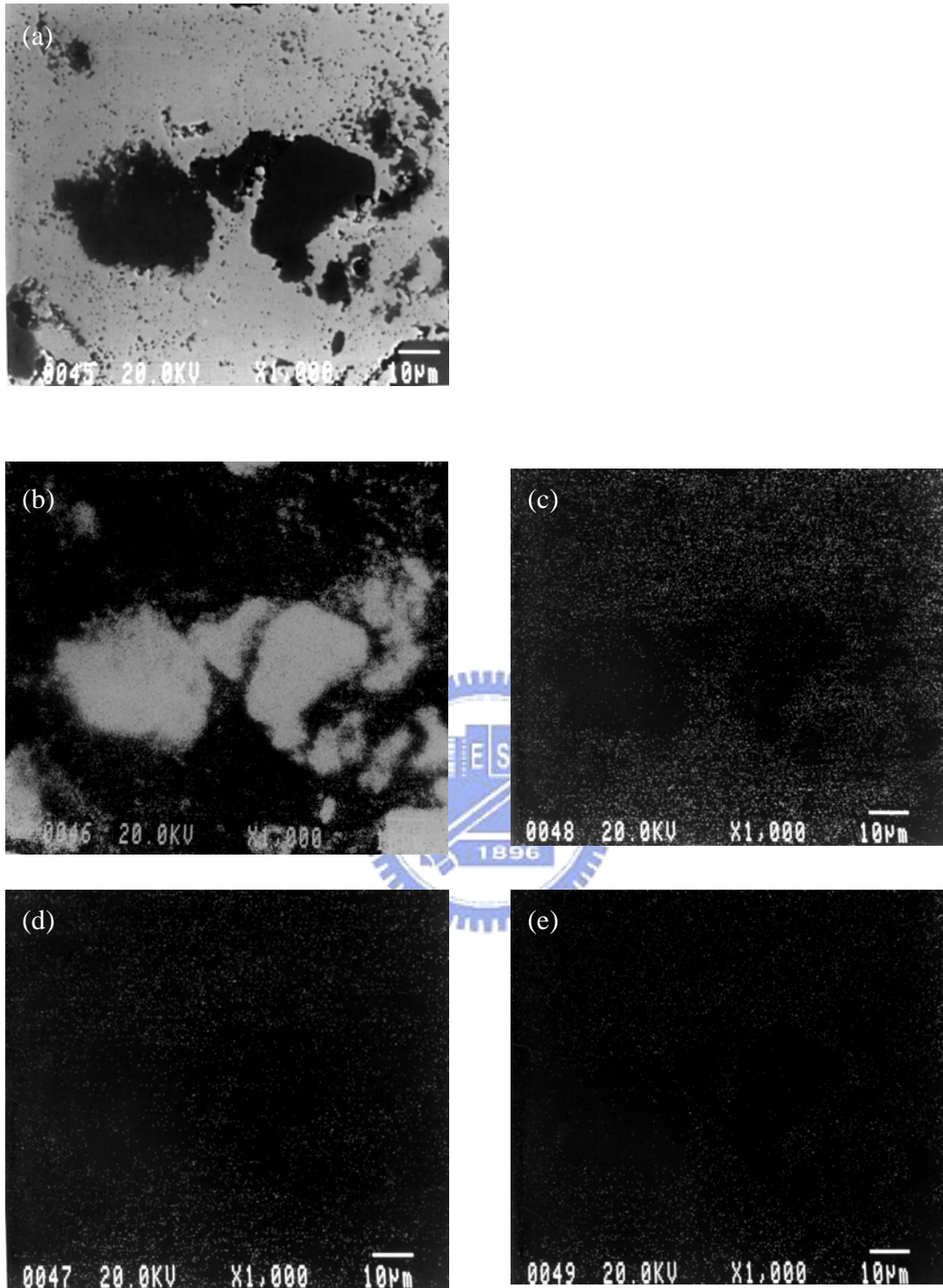


Fig. 4-12 50T (a)經過 1500°C/6hr/Ar 熱處理後之微觀影像(BEI) (b)Ti 元素之 x-ray mapping (c)Zr 元素之 x-ray mapping (d)O 元素之 x-ray mapping (e)Y 元素之 x-ray mapping

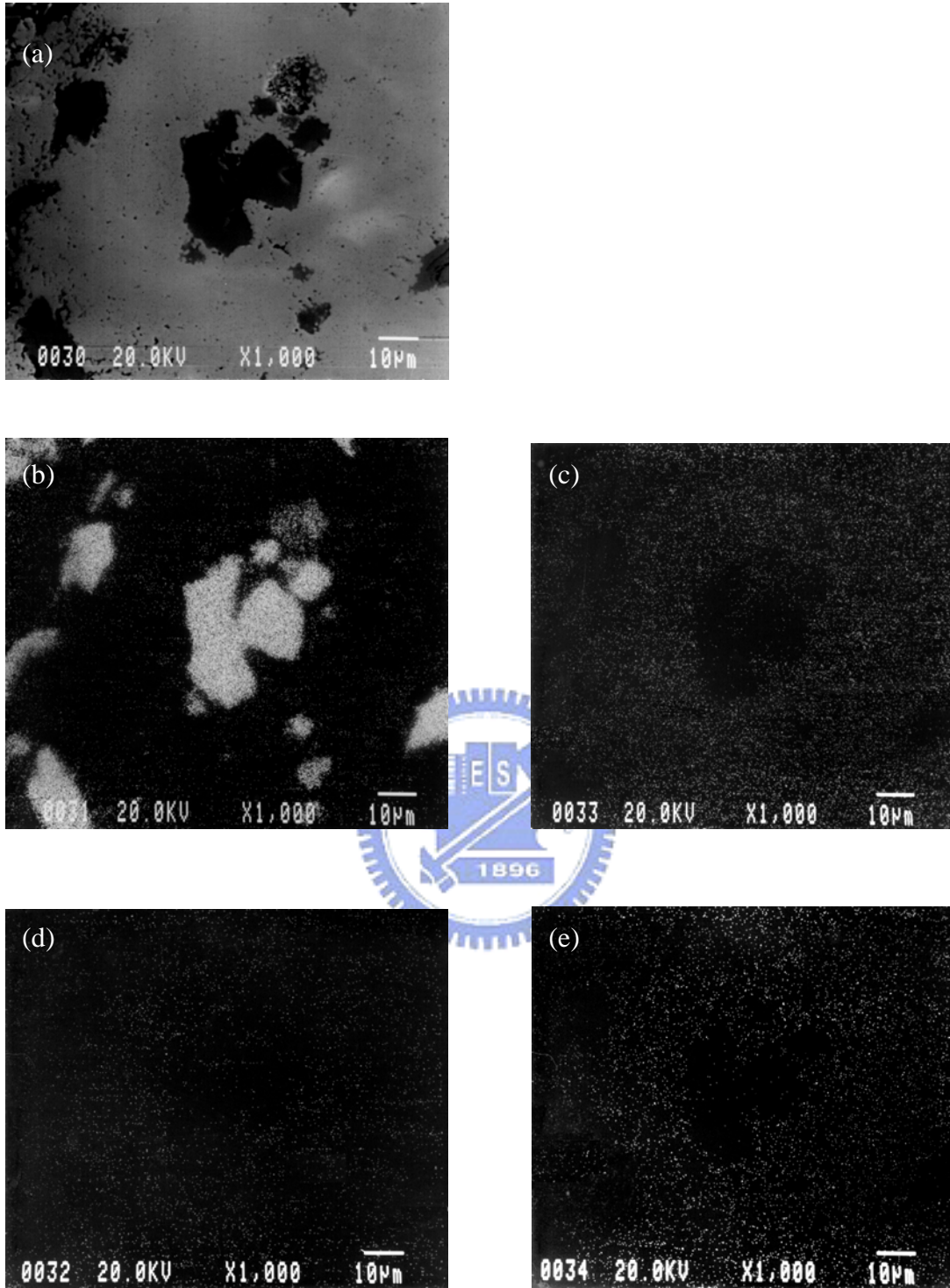


Fig. 4-13 50T (a)經過 1400°C/6hr/Ar 熱處理後之微觀影像(BEI) (b)Ti 元素之 x-ray mapping (c)Zr 元素之 x-ray mapping (d)O 元素之 x-ray mapping (e)Y 元素之 x-ray mapping。